



# گزارش اولیه زمین لرزه با بزرگی ۳/۴ شهرستان قشم، استان جزیره قشم

مورخ ۱۳ مهر ماه ۱۴۰۴

تاریخ گزارش:

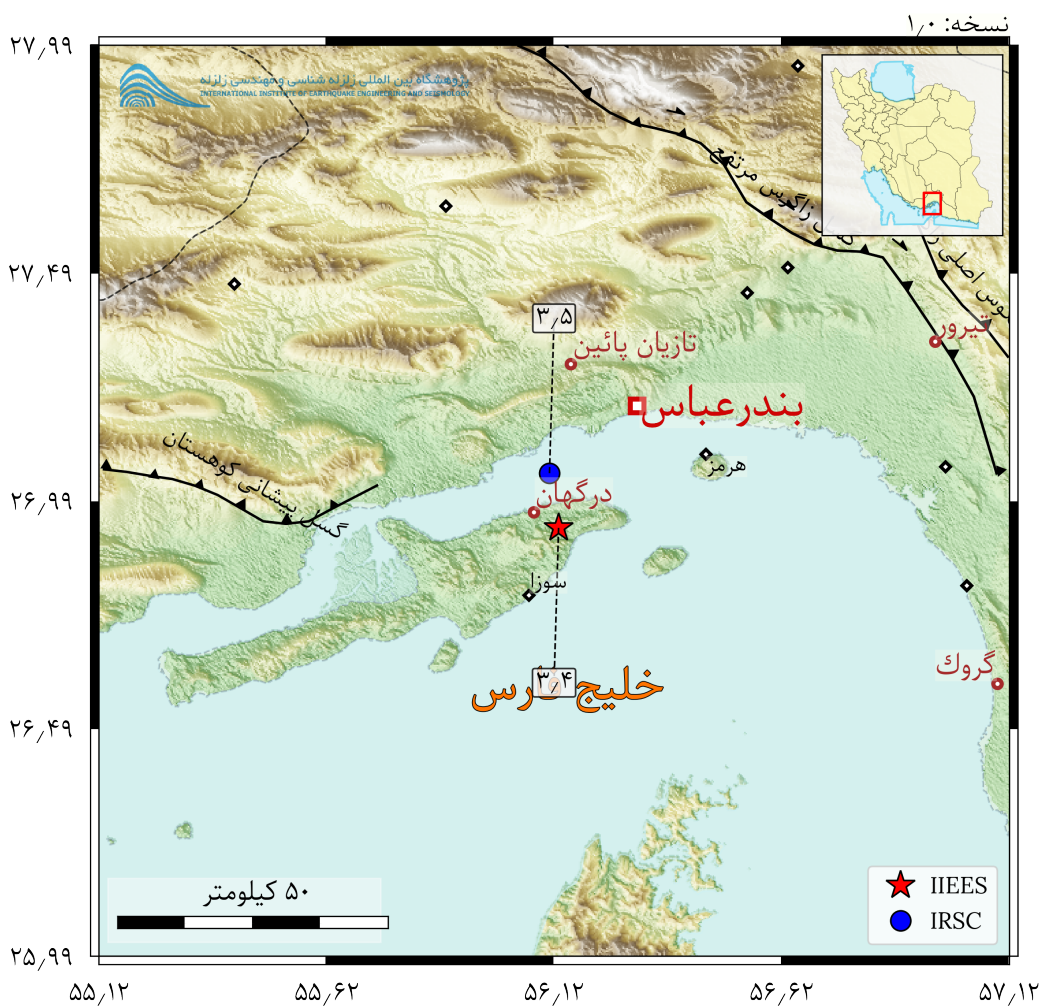
۱۳ مهر (ویرایش ۱)

**RAISE**  
Rapid Assessment of Iran Seismic Events



## معرفی رویداد

در ساعت ۰۱ و ۴۳ دقیقه (به وقت محلی) روز ۱۳ مهر ماه ۱۴۰۴ هجری شمسی، مطابق با ساعت ۲۲ و ۱۳ دقیقه (به وقت جهانی) روز ۰۳ اکتبر ۲۰۲۵ میلادی زمین‌لرزه‌ای با بزرگای  $3/4$  در فاصله ۹۰ کیلومتری درگهان در شهرستان قشم از استان جزیره قشم به وقوع پیوست (شکل ۱). رومرکز این رویداد براساس لرزه‌نگاشتهای ثبت شده در مرکز ملی شبکه لرزه نگاری باند پهنه کشور (IIEES) در مختصات  $26/93^{\circ}$  درجه عرض شمالی و  $56/13^{\circ}$  درجه طول خاوری قرار دارد. براساس آخرین مکان‌یابی صورت گرفته، عمق کانونی زمین‌لرزه حدود ۱۲۰ کیلومتر برآورد شده است.



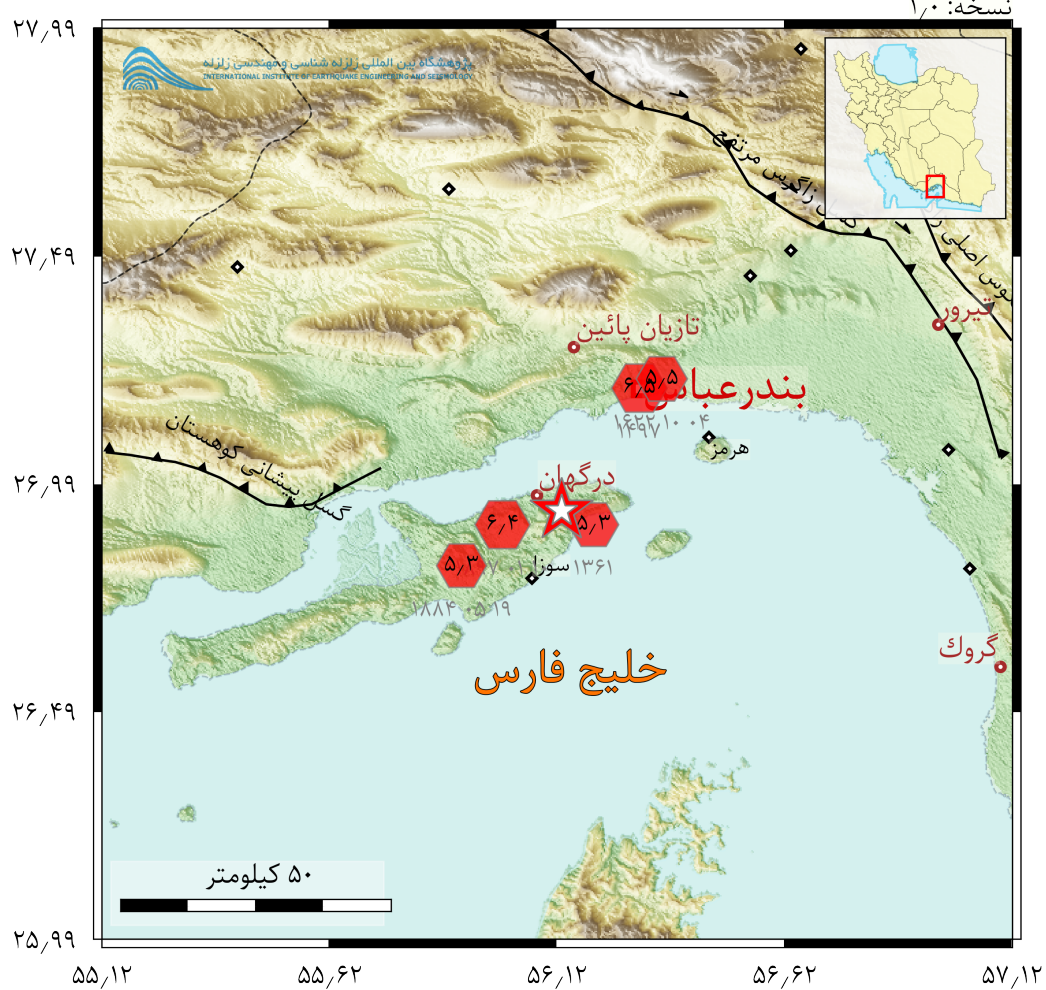
شکل ۱: موقعیت کانون زمین‌لرزه ۱۳ مهر ماه ۱۴۰۴ قشم براساس گزارش مراکز لرزه‌نگاری مختلف

جدول ۱: اطلاعات زمین لرزه به همراه سازوکار کانونی به نقل از مراکز لرزه شناسی

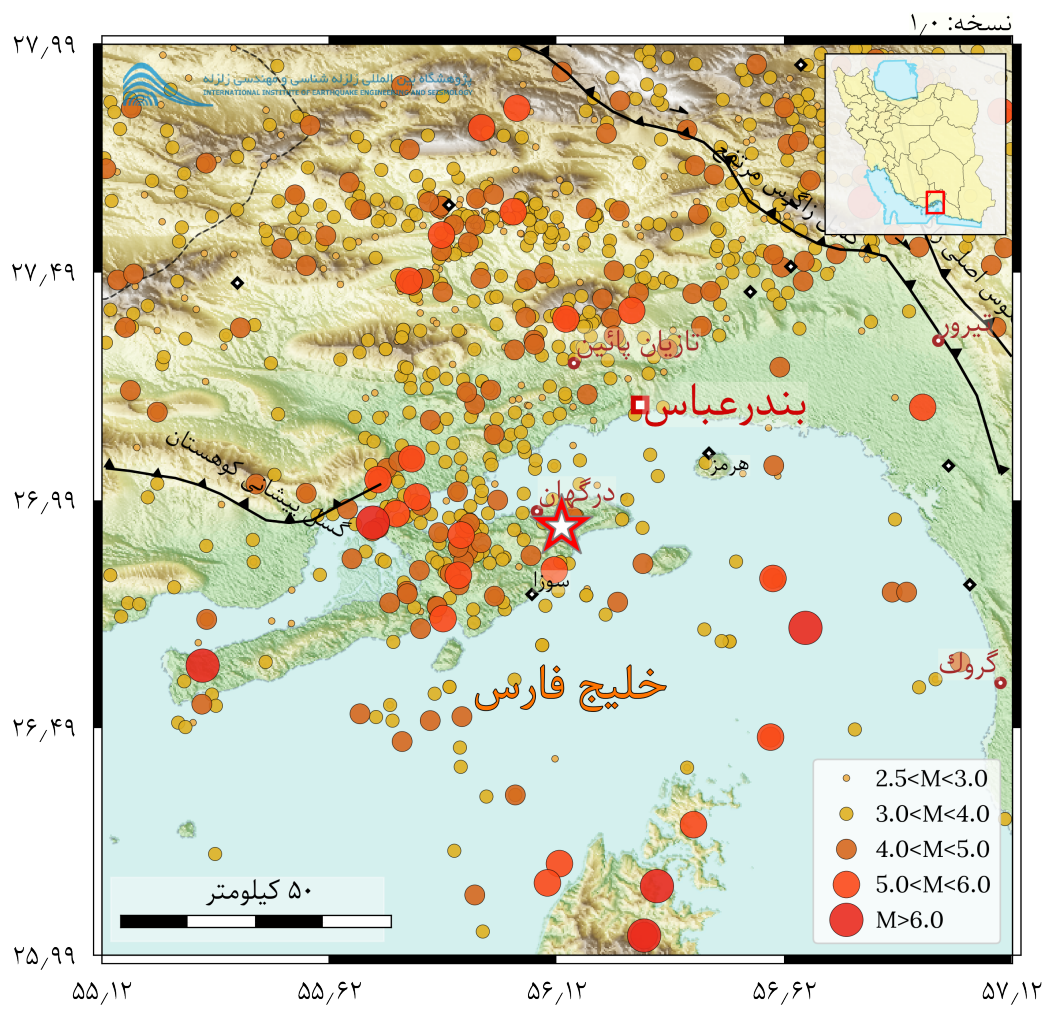
نام مرکز	طول جغرافیایی	عرض جغرافیایی	عمق	بزرگا
<sup>۱</sup> IIEES	۵۶/۱۳	۲۶/۹۳	۱۲/۰	۳/۴
<sup>۲</sup> IRSC	۵۶/۱۱	۲۷/۰۵	۹/۰	۳/۵

<sup>۱</sup> پژوهشگاه بین المللی زلزله شناسی و مهندسی زلزله<sup>۲</sup> موسسه رئوفیزیک دانشگاه تهران

نسخه: ۱/۰



شکل ۲: توزیع زمین‌لرزه‌های تاریخی (آمبرسیز و ملویل ۱۹۸۲) در گستره زمین‌لرزه ۱۳۶۱ مهر ماه ۱۴۰۴ قشم (ستاره)



شکل ۳: نقشه لرزه خیزی دستگاهی گستره مهلزه‌ای زمین‌لرزه ۱۳ مهر ماه ۱۴۰۴ قشم (ستاره) براساس کاتالوگ زمین‌لرزه‌های پژوهشگاه بین‌المللی زلزله‌شناسی و مهندسی زلزله

## مراجع

- [۱] تاریخ زمین لرزه ایران نوشته ن.ن.امبرسیز و چ.پ.ملویل
- [۲] Hessami, K., F. Jamali and H. Tabassi, 2003. Major Active Faults of Iran (map). Ministry of Science, Research and Technology, International Institute of Earthquake Engineering and Seismology.
- [۳] Abrahamson, N. A., Silva, W. J., & Kamai, R. (2014). Summary of the ASK14 ground motion relation for active crustal regions. *Earthquake Spectra*, 30(3), 1025-1055.
- [۴] Sinaeian, Zare, Fukushima (2007), A Study on the Empirical PGA Attenuation Relationship in Iran', SEE5
- [۵] Ghasemi, FuKushima, Koketsu (2009), 'An empirical Spectrum Ground-Motion'
- [۶] Kanno, T., Narita, A., Morikawa, N., Fujiwara, H., & Fukushima, Y. (2006). A new attenuation relation for strong ground motion in Japan based on recorded data. *Bulletin of the Seismological Society of America*, 96(3), 879-897.
- [۷] Kotha, S. R., Bindi, D. and Cotton, F. (2016) 'Partially non-ergodic region specific GMPE for Europe and the Middle-East', *Bull. Earthquake Eng.*14: 1245 - 1263
- [۸] Zafarani, H., Luzzi, L., Lanzano, G., & Soghrat, M. R. (2018). Empirical equations for the prediction of PGA and pseudo spectral accelerations using Iranian strong-motion data. *Journal of Seismology*, 22(1), 263-285.
- [۹] Worden, C. B., Wald, D. J., Allen, T. I., Lin, K., Garcia, D., and Cua, G. (2010). A revised ground-motion and intensity interpolation scheme for ShakeMap. *Bulletin of the Seismological Society of America*, 100(6), 3083-3096.
- [۱۰] Borcherdt, R.D. (1994). Estimates of site-dependent response spectra for design (methodology and justification), *Earthquake Spectra* 10, 617-654.
- [۱۱] Allen, T. and D.J. Wald (2009). On the use of high-resolution topographic data as a proxy for seismic site conditions (VS30), *Bull. Seism. Soc. Am.* 99(2A), 935-943.